

CONNECTEUR TOUT FILET À TÊTE CYLINDRIQUE

POINTE 3 THORNS

Grâce à la pointe 3 THORNS, les distances de pose minimales sont réduites. Il est possible d'utiliser plus de vis sur une surface plus petite et des vis plus grandes sur des éléments plus petits.

Les coûts et les délais pour la réalisation du projet sont réduits.

APPLICATIONS STRUCTURELLES

Homologation pour les applications structurelles sollicitées dans toutes les directions par rapport à la fibre ($0^\circ \div 90^\circ$). Essais cycliques SEISMIC-REV selon la norme EN 12512.

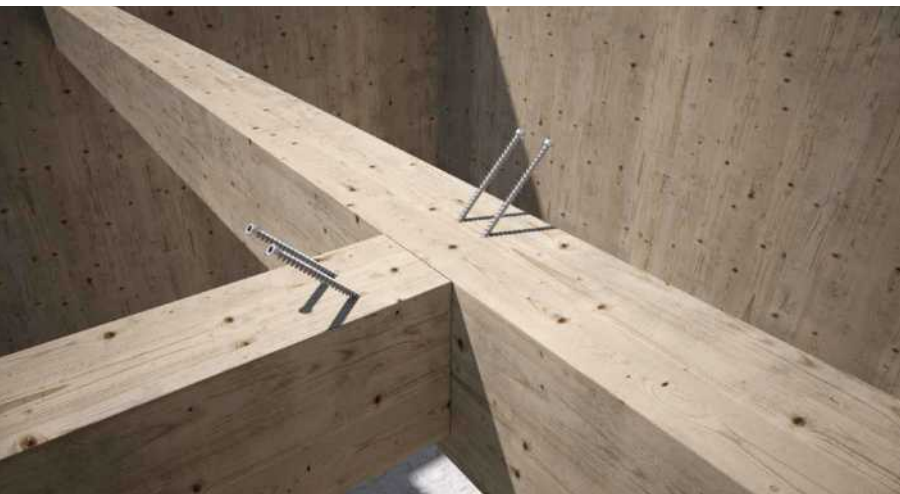
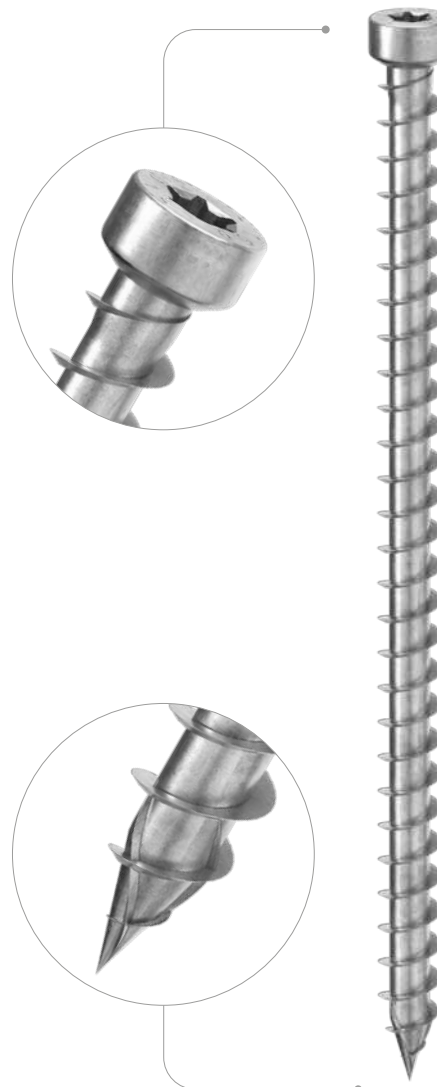
TÊTE CYLINDRIQUE

Elle permet à la vis de pénétrer et de traverser la surface du support en bois. Convient pour des systèmes d'assemblage escamotables, des couplages en bois et des renforts structurels. Il s'agit du choix idéal pour assurer la résistance au feu.

TIMBER FRAME

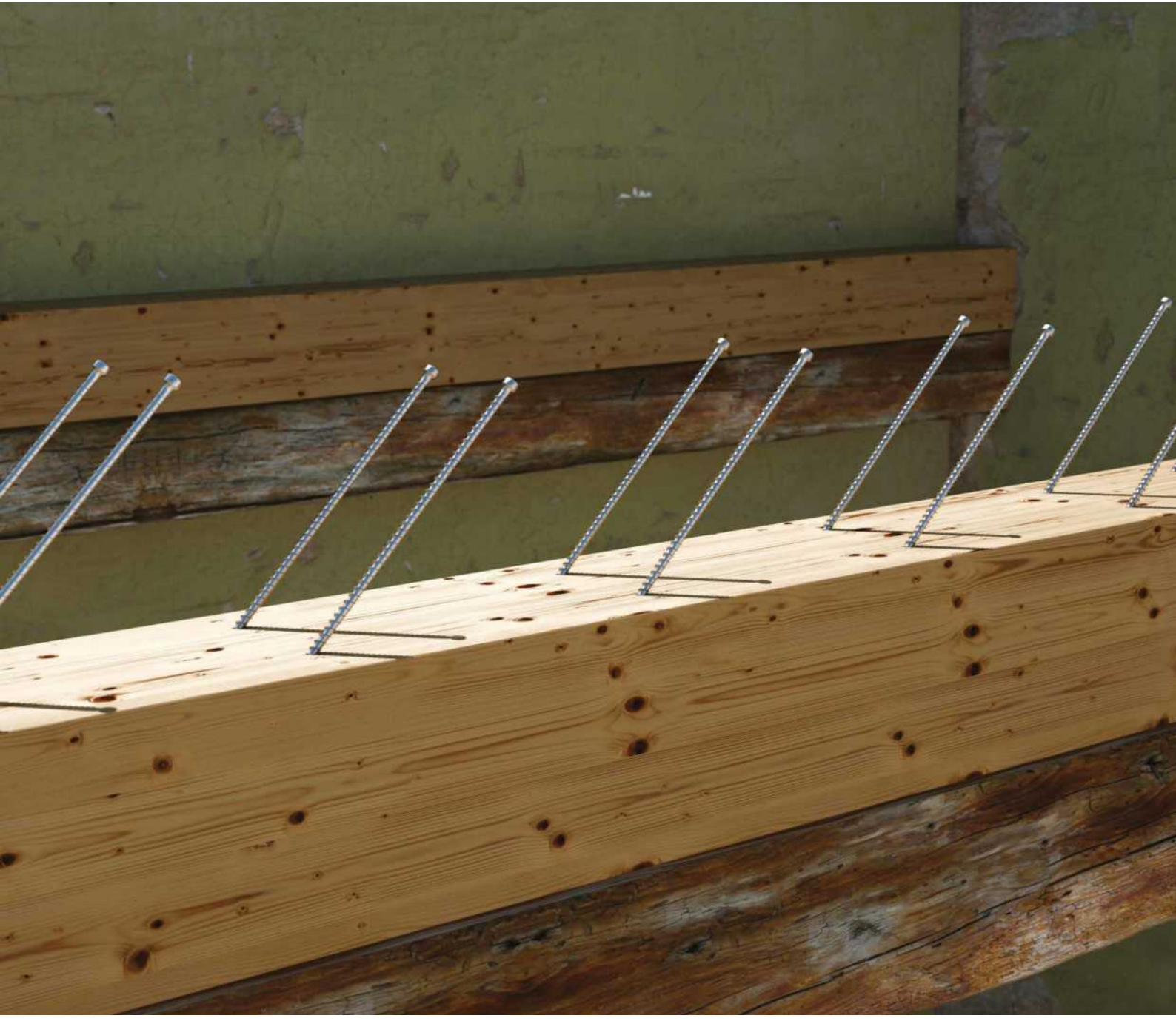
Idéal pour les assemblages d'éléments en bois de petites sections, comme les traverses et les montants des structures à ossature légère.

MY PROJECT	VIDEO	BIT INCLUDED
SOFTWARE		
DIAMÈTRE [mm]	5 7 11	
LONGUEUR [mm]	80 80 1000 1000	
CLASSE DE SERVICE	SC1 SC2	
CORROSIVITÉ ATMOSPHERIQUE	C1 C2	
CORROSIVITÉ DU BOIS	T1 T2	
MATÉRIAUX	Zn <small>ELECTRO PLATED</small>	acier au carbone électrozingué



DOMAINES D'UTILISATION

- panneaux à base de bois
- bois massif
- bois lamellé-collé
- CLT et LVL
- bois à haute densité



RÉHABILITATION STRUCTURELLE

Convient pour l'assemblage de poutres dans la rénovation structurelle et les nouvelles interventions. Utilisation possible également en direction parallèle aux fibres grâce à l'homologation spéciale.

CLT, LVL

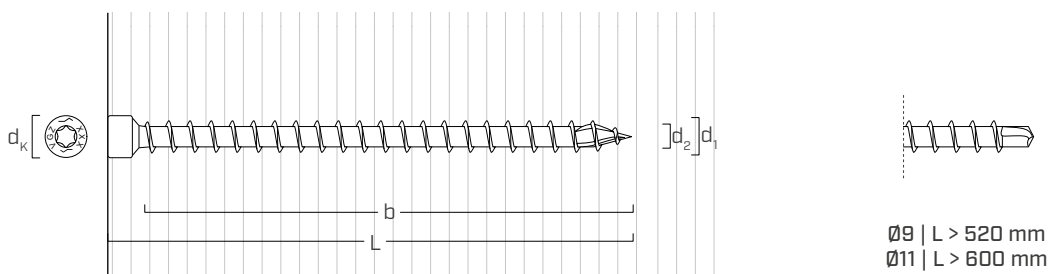
Valeurs testées, certifiées et calculées également pour CLT et bois à haute densité comme le micro-lamellé LVL.



Assemblage à rigidité très élevée de planchers accouplés en CLT.
Application avec double inclinaison à 45° idéale
pour une réalisation avec un gabarit JIG VGZ.

Renfort orthogonal par rapport à la fibre pour
charge suspendue due à l'assemblage poutre
principale - secondaire.

GÉOMÉTRIE ET CARACTÉRISTIQUES MÉCANIQUES



GÉOMÉTRIE

Diamètre nominal	d_1 [mm]	7	9	11
Diamètre tête	d_K [mm]	9,50	11,50	13,50
Diamètre noyau	d_2 [mm]	4,60	5,90	6,60
Diamètre pré-perçage ⁽¹⁾	$d_{V,S}$ [mm]	4,0	5,0	6,0
Diamètre pré-perçage ⁽²⁾	$d_{V,H}$ [mm]	5,0	6,0	7,0

(1) Pré-perçage valable pour bois de conifère (softwood).

(2) Pré-perçage valable pour bois durs (hardwood) et pour LVL en bois de hêtre.

PARAMÈTRES MÉCANIQUES CARACTÉRISTIQUES

Diamètre nominal	d_1 [mm]	7	9	11
Résistance à la traction	$f_{tens,k}$ [kN]	15,4	25,4	38,0
Limite d'élasticité	$f_{y,k}$ [N/mm ²]	1000	1000	1000
Moment d'élasticité	$M_{y,k}$ [Nm]	14,2	27,2	45,9

		bois de conifère (softwood)	LVL de conifère (LVL softwood)	LVL de hêtre pré-percé (beech LVL predrilled)
Résistance à l'arrachement	$f_{ax,k}$ [N/mm ²]	11,7	15,0	29,0
Densité associée	ρ_a [kg/m ³]	350	500	730
Densité de calcul	ρ_k [kg/m ³]	≤ 440	410 ÷ 550	590 ÷ 750

Pour des applications avec des matériaux différents, veuillez-vous reporter au document ATE-11/0030.

CODES ET DIMENSIONS

d₁ [mm]	CODE	L [mm]	b [mm]	pcs.
7 TX 30	VGZ780	80	70	25
	VGZ7100	100	90	25
	VGZ7120	120	110	25
	VGZ7140	140	130	25
	VGZ7160	160	150	25
	VGZ7180	180	170	25
	VGZ7200	200	190	25
	VGZ7220	220	210	25
	VGZ7240	240	230	25
	VGZ7260	260	250	25
	VGZ7280	280	270	25
	VGZ7300	300	290	25
	VGZ7320	320	310	25
	VGZ7340	340	330	25
	VGZ7360	360	350	25
	VGZ7380	380	370	25
	VGZ7400	400	390	25
	VGZ9160	160	150	25
	VGZ9180	180	170	25
	VGZ9200	200	190	25
	VGZ9220	220	210	25
	VGZ9240	240	230	25
	VGZ9260	260	250	25
	VGZ9280	280	270	25
	VGZ9300	300	290	25
9 TX 40	VGZ9320	320	310	25
	VGZ9340	340	330	25
	VGZ9360	360	350	25
	VGZ9380	380	370	25
	VGZ9400	400	390	25
	VGZ9440	440	430	25
	VGZ9480	480	470	25
	VGZ9520	520	510	25
	VGZ9560	560	550	25
	VGZ9600	600	590	25

d₁ [mm]	CODE	L [mm]	b [mm]	pcs.
11 TX 50	VGZ11150	150	140	25
	VGZ11200	200	190	25
	VGZ11250	250	240	25
	VGZ11275	275	265	25
	VGZ11300	300	290	25
	VGZ11325	325	315	25
	VGZ11350	350	340	25
	VGZ11375	375	365	25
	VGZ11400	400	390	25
	VGZ11425	425	415	25
	VGZ11450	450	440	25
	VGZ11475	475	465	25
	VGZ11500	500	490	25
	VGZ11525	525	515	25
	VGZ11550	550	540	25
	VGZ11575	575	565	25
	VGZ11600	600	590	25
	VGZ11650	650	640	25
	VGZ11700	700	690	25
	VGZ11750	750	740	25
	VGZ11800	800	790	25
	VGZ11850	850	840	25
	VGZ11900	900	890	25
	VGZ11950	950	940	25
	VGZ111000	1000	990	25

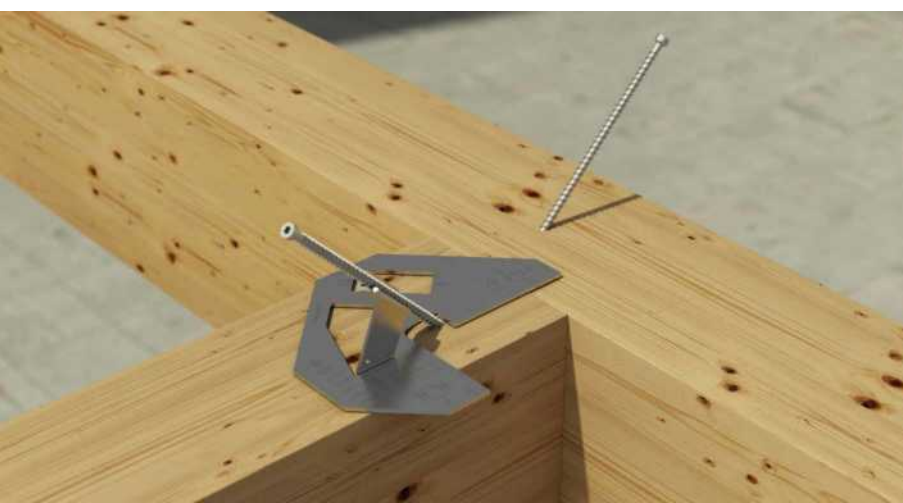
PRODUITS CONNEXES



JIG VGZ 45°

GABARIT POUR VIS À 45°

page 409

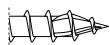


GABARIT JIG VGZ 45°

Installation à 45° facilitée par l'utilisation du gabarit en acier JIG VGZ.

DISTANCES MINIMALES POUR VIS SOLICITÉES AXIALEMENT | BOIS

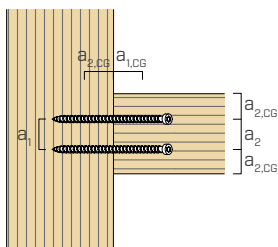
 vis enfoncées AVEC et SANS pré-perçage



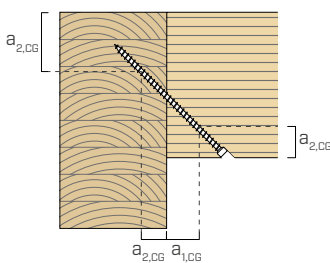
d_1	[mm]	7	9	11
a_1	[mm]	5·d	35	45
a_2	[mm]	5·d	35	45
$a_{2,LIM}$	[mm]	2,5·d	18	23
$a_{1,CG}$	[mm]	8·d	56	72
$a_{2,CG}$	[mm]	3·d	21	27
a_{CROSS}	[mm]	1,5·d	11	14

d_1	[mm]	9	11
a_1	[mm]	5·d	45
a_2	[mm]	5·d	45
$a_{2,LIM}$	[mm]	2,5·d	23
$a_{1,CG}$	[mm]	5·d	45
$a_{2,CG}$	[mm]	3·d	27
a_{CROSS}	[mm]	1,5·d	14

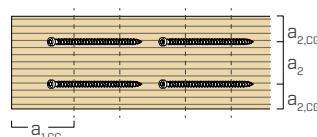
VIS EN TRACTION INSÉRÉES AVEC UN ANGLE α PAR RAPPORT À LA FIBRE



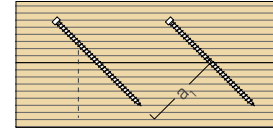
plan



façade

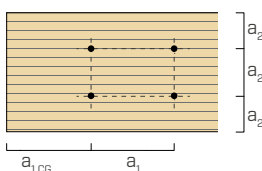


plan

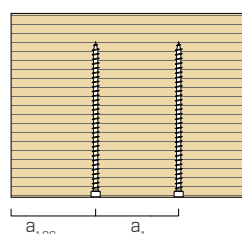


façade

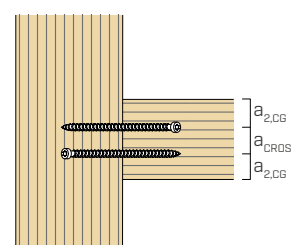
VIS INSÉRÉES AVEC UN ANGLE $\alpha = 90^\circ$ PAR RAPPORT À LA FIBRE



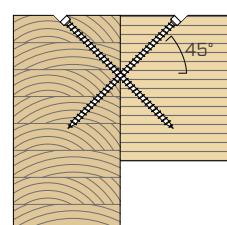
plan



façade



plan



façade

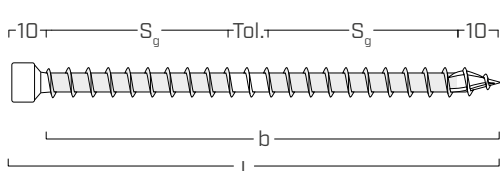
NOTES

- Les distances minimales sont calculées en accord avec ATE-11/0030.
- Les distances minimales sont indépendantes de l'angle d'insertion du connecteur et de l'angle de la force par rapport à la fibre.
- La distance axiale a_2 peut être réduite jusqu'à $a_{2,LIM}$ si, pour chaque connecteur, une « surface d'assemblage » $a_1 a_2 = 25 d_1^2$ est maintenue.
- Pour des assemblages poutre secondaire-poutre principale avec des vis VGZ $d = 7$ mm inclinées ou croisées, insérées à un angle de 45° par rapport

à la tête de la poutre secondaire, avec une hauteur minimale de la poutre secondaire égale à $18 \cdot d$, la distance minimale $a_{1,CG}$ peut être prise à $8 \cdot d_1$ et la distance $a_{2,CG}$ égale à $3 \cdot d_1$.

- Pour des vis avec une pointe 3 THORNS et avec une self-drilling, les distances indiquées dans le tableau sont issues d'essais expérimentaux ; en alternative, adopter $a_{1,CG} = 10 \cdot d$ et $a_{2,CG} = 4 \cdot d$ conformément à la norme EN 1995:2014.

FILETAGE EFFICACE POUR LE CALCUL



$$b = S_{g,tot} = L - 10 \text{ mm}$$

$$S_g = (L - 10 \text{ mm} - 10 \text{ mm} - \text{Tol.})/2$$

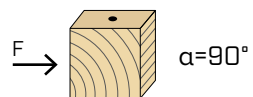
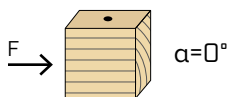
représente toute la longueur de la partie filetée

représente la demi-longueur de la partie filetée avec tolérance (Tol.) de pose de 10 mm

DISTANCES MINIMALES POUR VIS SOLlicitées AU CISAILLEMENT | BOIS

vis insérées SANS pré-perçage

$\rho_k \leq 420 \text{ kg/m}^3$



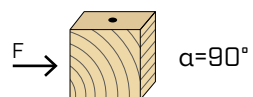
d_1 [mm]	7	9	11	
a_1 [mm]	10·d	70	90	110
a_2 [mm]	5·d	35	45	55
$a_{3,t}$ [mm]	15·d	105	135	165
$a_{3,c}$ [mm]	10·d	70	90	110
$a_{4,t}$ [mm]	5·d	35	45	55
$a_{4,c}$ [mm]	5·d	35	45	55

α = angle entre effort et fil du bois

$d = d_1$ = diamètre nominal vis

d_1 [mm]	7	9	11	
a_1 [mm]	5·d	35	45	55
a_2 [mm]	5·d	35	45	55
$a_{3,t}$ [mm]	10·d	70	90	110
$a_{3,c}$ [mm]	10·d	70	90	110
$a_{4,t}$ [mm]	10·d	70	90	110
$a_{4,c}$ [mm]	5·d	35	45	55

vis insérées AVEC pré-perçage

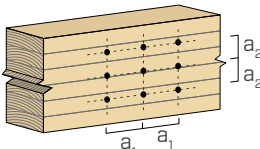


d_1 [mm]	7	9	11	
a_1 [mm]	5·d	35	45	55
a_2 [mm]	3·d	21	27	33
$a_{3,t}$ [mm]	12·d	84	108	132
$a_{3,c}$ [mm]	7·d	49	63	77
$a_{4,t}$ [mm]	3·d	21	27	33
$a_{4,c}$ [mm]	3·d	21	27	33

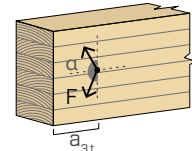
d_1 [mm]	7	9	11	
a_1 [mm]	4·d	28	36	44
a_2 [mm]	4·d	28	36	44
$a_{3,t}$ [mm]	7·d	49	63	77
$a_{3,c}$ [mm]	7·d	49	63	77
$a_{4,t}$ [mm]	7·d	49	63	77
$a_{4,c}$ [mm]	3·d	21	27	33

α = angle entre effort et fil du bois

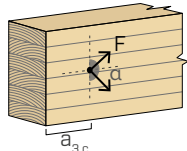
$d = d_1$ = diamètre nominal vis



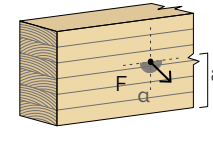
extrémité sollicitée
 $-90^\circ < \alpha < 90^\circ$



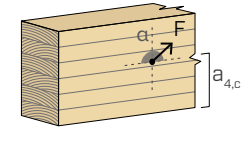
extrémité déchargée
 $90^\circ < \alpha < 270^\circ$



bord chargé
 $0^\circ < \alpha < 180^\circ$



bord non chargé
 $180^\circ < \alpha < 360^\circ$



NOTES

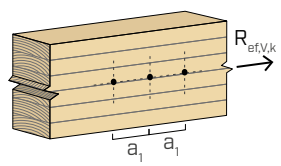
- Les distances minimales sont celles de la norme EN 1995:2014, conformément à ATE-11/0030.
- Dans le cas d'un assemblage panneau-bois les distances minimales (a_1 , a_2) doivent être multipliées par un coefficient de 0,85.

- L'espacement a_1 indiqué pour des vis avec une pointe 3 THORNS insérées sans pré-perçage dans des éléments en bois avec une densité $\rho_k \leq 420 \text{ kg/m}^3$ et un angle entre force et fibres $\alpha = 0^\circ$ a été fixé à 10·d sur la base d'essais expérimentaux ; en alternative, adopter 12·d conformément à la norme EN 1995:2014.

NOMBRE EFFICACE POUR VIS SOLlicitées AU CISAILLEMENT

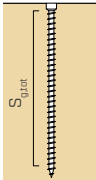
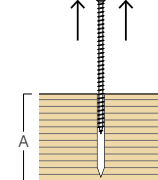
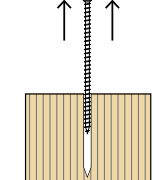
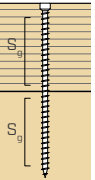
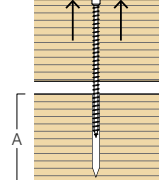
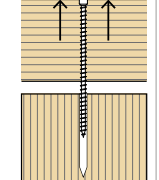
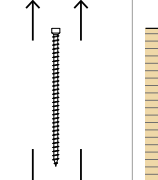
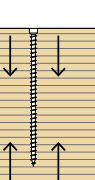
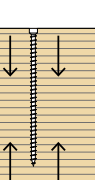
La capacité portante d'un assemblage réalisé avec plusieurs vis, toutes de même type et de même taille, peut être inférieure à la somme des capacités portantes de chaque élément d'assemblage.

Pour une rangée de n vis disposées parallèlement au sens du fil à une distance a_1 , la capacité portante caractéristique au cisaillement efficace $R_{ef,V,k}$ peut être calculée avec le nombre efficace n_{ef} (voir la page 169).



géométrie	TRACTION / COMPRESSION										instabilité $\varepsilon=90^\circ$	
	extraction du filetage total				extraction du filetage partiel				traction acier			
	$\varepsilon=90^\circ$		$\varepsilon=0^\circ$		$\varepsilon=90^\circ$		$\varepsilon=0^\circ$					
d_1 [mm]	L [mm]	$S_{g,tot}$ [mm]	A_{min} [mm]	$R_{ax,90,k}$ [kN]	$R_{ax,0,k}$ [kN]	S_g [mm]	A_{min} [mm]	$R_{ax,90,k}$ [kN]	$R_{ax,0,k}$ [kN]	$R_{tens,k}$ [kN]	$R_{ki,90,k}$ [kN]	
80	70	90	6,19	1,86	-	-	-	-	-			
100	90	110	7,96	2,39	35	55	3,09	0,93				
120	110	130	9,72	2,92	45	65	3,98	1,19				
140	130	150	11,49	3,45	55	75	4,86	1,46				
160	150	170	13,26	3,98	65	85	5,75	1,72				
180	170	190	15,03	4,51	75	95	6,63	1,99				
200	190	210	16,79	5,04	85	105	7,51	2,25				
220	210	230	18,56	5,57	95	115	8,40	2,52				
7	240	230	250	20,33	6,10	105	125	9,28	2,78	15,40	10,30	
	260	250	270	22,10	6,63	115	135	10,16	3,05			
	280	270	290	23,87	7,16	125	145	11,05	3,31			
	300	290	310	25,63	7,69	135	155	11,93	3,58			
	320	310	330	27,40	8,22	145	165	12,82	3,84			
	340	330	350	29,17	8,75	155	175	13,70	4,11			
	360	350	370	30,94	9,28	165	185	14,58	4,38			
	380	370	390	32,70	9,81	175	195	15,47	4,64			
	400	390	410	34,47	10,34	185	205	16,35	4,91			
9	160	150	170	17,05	5,11	65	85	7,39	2,22	25,40	17,25	
	180	170	190	19,32	5,80	75	95	8,52	2,56			
	200	190	210	21,59	6,48	85	105	9,66	2,90			
	220	210	230	23,87	7,16	95	115	10,80	3,24			
	240	230	250	26,14	7,84	105	125	11,93	3,58			
	260	250	270	28,41	8,52	115	135	13,07	3,92			
	280	270	290	30,68	9,21	125	145	14,21	4,26			
	300	290	310	32,96	9,89	135	155	15,34	4,60			
	320	310	330	35,23	10,57	145	165	16,48	4,94			
	340	330	350	37,50	11,25	155	175	17,61	5,28			
	360	350	370	39,78	11,93	165	185	18,75	5,63			
	380	370	390	42,05	12,61	175	195	19,89	5,97			
	400	390	410	44,32	13,30	185	205	21,02	6,31			
	440	430	450	48,87	14,66	205	225	23,30	6,99			
	480	470	490	53,41	16,02	225	245	25,57	7,67			
	520	510	530	57,96	17,39	245	265	27,84	8,35			
	560	550	570	62,50	18,75	265	285	30,12	9,03			
	600	590	610	67,05	20,11	285	305	32,39	9,72			

ε = angle entre vis et fibres

géométrie		TRACTION / COMPRESSION									
		extraction du filetage total				extraction du filetage partiel				traction acier	instabilité $\varepsilon=90^\circ$
		$\varepsilon=90^\circ$		$\varepsilon=0^\circ$		$\varepsilon=90^\circ$		$\varepsilon=0^\circ$			
											
d₁	L	S_{g,tot} [mm]	A_{min} [mm]	R_{ax,90,k} [kN]	R_{ax,0,k} [kN]	S_g [mm]	A_{min} [mm]	R_{ax,90,k} [kN]	R_{ax,0,k} [kN]	R_{tens,k} [kN]	R_{ki,90,k} [kN]
	150	140	160	19,45	5,83	60	80	8,33	2,50		
	200	190	210	26,39	7,92	85	105	11,81	3,54		
	250	240	260	33,34	10,00	110	130	15,28	4,58		
	275	265	285	36,81	11,04	123	143	17,01	5,10		
	300	290	310	40,28	12,08	135	155	18,75	5,63		
	325	315	335	43,75	13,13	148	168	20,49	6,15		
	350	340	360	47,22	14,17	160	180	22,22	6,67		
	375	365	385	50,70	15,21	173	193	23,96	7,19		
	400	390	410	54,17	16,25	185	205	25,70	7,71		
	425	415	435	57,64	17,29	198	218	27,43	8,23		
	450	440	460	61,11	18,33	210	230	29,17	8,75		
	475	465	485	64,59	19,38	223	243	30,90	9,27		
11	500	490	510	68,06	20,42	235	255	32,64	9,79	38,00	21,93
	525	515	535	71,53	21,46	248	268	34,38	10,31		
	550	540	560	75,00	22,50	260	280	36,11	10,83		
	575	565	585	78,48	23,54	273	293	37,85	11,35		
	600	590	610	81,95	24,58	285	305	39,59	11,88		
	650	640	660	88,89	26,67	310	330	43,06	12,92		
	700	690	710	95,84	28,75	335	355	46,53	13,96		
	750	740	760	102,78	30,84	360	380	50,00	15,00		
	800	790	810	109,73	32,92	385	405	53,48	16,04		
	850	840	860	116,67	35,00	410	430	56,95	17,08		
	900	890	910	123,62	37,09	435	455	60,42	18,13		
	950	940	960	130,56	39,17	460	480	63,89	19,17		
	1000	990	1010	137,51	41,25	485	505	67,37	20,21		

ε = angle entre vis et fibres

NOTES

- Les résistances caractéristiques à l'extraction du filetage ont été évaluées en considérant aussi bien un angle ε de 90 ° ($R_{ax,90,k}$) qu'un angle de 0 ° ($R_{ax,0,k}$) entre les fibres de l'élément en bois et le connecteur.
- Pour le calcul, la masse volumique des éléments en bois a été estimée à $\rho_k = 385 \text{ kg/m}^3$. Pour des valeurs de ρ_k différentes, les résistances indiquées dans le tableau peuvent être converties avec le coefficient k_{dens} .

$$R'_{ax,k} = k_{dens,ax} \cdot R_{ax,k}$$

$$R'_{ki,k} = k_{dens,ki} \cdot R_{ki,k}$$

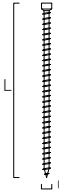
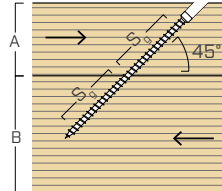
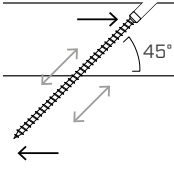
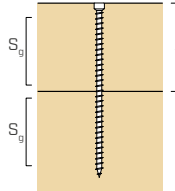
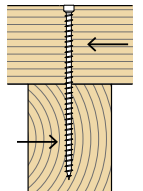
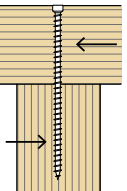
ρ_k [kg/m ³]	350	380	385	405	425	430	440
C-GL	C24	C30	GL24h	GL26h	GL28h	GL30h	GL32h
$k_{dens,ax}$	0,92	0,98	1,00	1,04	1,08	1,09	1,11
$k_{dens,ki}$	0,97	0,99	1,00	1,00	1,01	1,02	1,02

Les valeurs de résistance ainsi déterminées pourraient différer, en faveur de la sécurité, de celles résultant d'un calcul exact.

PRINCIPES GÉNÉRAUX à la page 143.

géométrie	GLISSEMENT				CISAILLEMENT						
	bois-bois			traction acier	bois-bois	bois-bois $\varepsilon=90^\circ$	bois-bois $\varepsilon=0^\circ$				
	d_1 [mm]	L [mm]	S_g [mm]	A [mm]	B_{min} [mm]	$R_{V,k}$ [kN]	$R_{tens,45,k}$ [kN]	A [mm]	S_g [mm]	$R_{V,90,k}$ [mm]	$R_{V,0,k}$ [kN]
7	80	-	-	-	-	-	10,89	40	25	2,59	1,34
	100	35	40	55	2,19	2,19		50	35	2,93	1,53
	120	45	45	60	2,81	2,81		60	45	3,15	1,74
	140	55	55	70	3,44	3,44		70	55	3,37	1,97
	160	65	60	75	4,06	4,06		80	65	3,59	2,06
	180	75	70	85	4,69	4,69		90	75	3,81	2,12
	200	85	75	90	5,31	5,31		100	85	4,03	2,19
	220	95	85	100	5,94	5,94		110	95	4,25	2,26
	240	105	90	105	6,56	6,56		120	105	4,30	2,32
	260	115	95	110	7,19	7,19		130	115	4,30	2,39
	280	125	105	120	7,81	7,81		140	125	4,30	2,46
	300	135	110	125	8,44	8,44		150	135	4,30	2,52
	320	145	120	135	9,06	9,06		160	145	4,30	2,59
	340	155	125	140	9,69	9,69		170	155	4,30	2,65
	360	165	130	145	10,31	10,31		180	165	4,30	2,72
9	380	175	140	155	10,94	10,94	17,96	190	175	4,30	2,79
	400	185	145	160	11,56	11,56		200	185	4,30	2,85
	160	65	60	75	5,22	5,22		80	65	5,10	2,81
	180	75	70	85	6,03	6,03		90	75	5,38	3,08
	200	85	75	90	6,83	6,83		100	85	5,67	3,18
	220	95	85	100	7,63	7,63		110	95	5,95	3,27
	240	105	90	105	8,44	8,44		120	105	6,23	3,35
	260	115	95	110	9,24	9,24		130	115	6,50	3,44
	280	125	105	120	10,04	10,04		140	125	6,50	3,52
	300	135	110	125	10,85	10,85		150	135	6,50	3,61
	320	145	120	135	11,65	11,65		160	145	6,50	3,69
	340	155	125	140	12,46	12,46		170	155	6,50	3,78
	360	165	130	145	13,26	13,26		180	165	6,50	3,86
	380	175	140	155	14,06	14,06		190	175	6,50	3,95
	400	185	145	160	14,87	14,87		200	185	6,50	4,03
	440	205	160	175	16,47	16,47		220	205	6,50	4,21
	480	225	175	190	18,08	18,08		240	225	6,50	4,38
	520	245	190	205	19,69	19,69		260	245	6,50	4,55
	560	265	205	220	21,29	21,29		280	265	6,50	4,72
	600	285	215	230	22,90	22,90		300	285	6,50	4,89

ε = angle entre vis et fibres

géométrie	GLISSEMENT				CISAILLEMENT			
	bois-bois			traction acier	bois-bois	bois-bois $\varepsilon=90^\circ$	bois-bois $\varepsilon=0^\circ$	
								
d₁ [mm]	L [mm]	S_g [mm]	A [mm]	B_{min} [mm]	R_{V,k} [kN]	R_{tens,45,k} [kN]	A [mm]	S_g [mm]
150	60	60	75	75	5,89	26,87	75	60
200	85	75	90	90	8,35		100	85
250	110	95	110	110	10,80		125	110
275	123	100	115	115	12,03		138	123
300	135	110	125	125	13,26		150	135
325	148	120	135	135	14,49		163	148
350	160	130	145	145	15,71		175	160
375	173	140	155	155	16,94		188	173
400	185	145	160	160	18,17		200	185
425	198	155	170	170	19,40		213	198
450	210	165	180	180	20,63		225	210
475	223	175	190	190	21,85		238	223
11	500	235	180	195	23,08		250	235
	525	248	190	205	24,31		263	248
	550	260	200	215	25,54		275	260
	575	273	210	225	26,76		288	273
	600	285	215	230	27,99		300	285
	650	310	235	250	30,45		325	310
	700	335	250	265	32,90		350	335
	750	360	270	285	35,36		375	360
	800	385	290	305	37,81		400	385
	850	410	305	320	40,27		425	410
	900	435	325	340	42,72		450	435
	950	460	340	355	45,18		475	460
	1000	485	360	375	47,63		500	485

ε = angle entre vis et fibres

NOTES

- Les résistances caractéristiques au glissement ont été évaluées en considérant un angle ε de 45° entre les fibres de l'élément en bois et le connecteur.
- Les résistances caractéristiques au cisaillement bois-bois ont été évaluées en considérant aussi bien un angle ε de 90° ($R_{V,90,k}$) qu'un angle de 0° ($R_{V,0,k}$) entre les fibres du deuxième élément et le connecteur.
- Pour le calcul, la masse volumique des éléments en bois a été estimée à $\rho_k = 385 \text{ kg/m}^3$. Pour des valeurs de ρ_k différentes, les résistances indiquées dans le tableau peuvent être converties avec le coefficient k_{dens} .

$$R'_{V,k} = k_{dens,ax} \cdot R_{V,k}$$

$$R'_{V,90,k} = k_{dens,V} \cdot R_{V,90,k}$$

$$R'_{V,0,k} = k_{dens,V} \cdot R_{V,0,k}$$

ρ_k [kg/m ³]	350	380	385	405	425	430	440
C-GL	C24	C30	GL24h	GL26h	GL28h	GL30h	GL32h
$k_{dens,ax}$	0,92	0,98	1,00	1,04	1,08	1,09	1,11
$k_{dens,V}$	0,90	0,98	1,00	1,02	1,05	1,05	1,07

Les valeurs de résistance ainsi déterminées pourraient différer, en faveur de la sécurité, de celles résultant d'un calcul exact.

PRINCIPES GÉNÉRAUX à la page 143.

ASSEMBLAGE PAR CISAILLEMENT POUTRE PRINCIPALE-POUTRE SECONDAIRE

géométrie		poutre principale poutre secondaire		1 paire			2 paires			3 paires				
d ₁	L	B _{HT,min}	H _{HT,min}	S _g	m	b _{NT,min}	R _{V1,k}	R _{V2,k}	b _{NT,min}	R _{V1,k}	R _{V2,k}	b _{NT,min}	R _{V1,k}	R _{V2,k}
[mm]	[mm]	[mm]	[mm]	[mm]	[mm]	[mm]	[kN]	[kN]	[mm]	[kN]	[kN]	[mm]	[kN]	[kN]
	160	75	130	65	60	53	8,13		88	15,16		123	21,84	
	180	80	140	75	67	53	9,38		88	17,49		123	25,20	
	200	90	155	85	74	53	10,63		88	19,83		123	28,56	
	220	95	170	95	81	53	11,88		88	22,16		123	31,92	
	240	100	185	105	88	53	13,13		88	24,49		123	35,28	
	260	110	200	115	95	53	14,38		88	26,82		123	38,64	
7	280	115	210	125	102	53	15,63	13,63	88	29,16	25,44	123	42,00	36,64
	300	125	225	135	109	53	16,88		88	31,49		123	45,36	
	320	130	240	145	116	53	18,13		88	33,82		123	48,72	
	340	140	255	155	123	53	19,38		88	36,16		123	52,08	
	360	145	270	165	130	53	20,63		88	38,49		123	55,44	
	380	150	285	175	137	53	21,78		88	40,64		123	58,54	
	400	160	295	185	144	53	21,78		88	40,64		123	58,54	
	200	90	155	85	74	68	13,66		113	25,49		158	36,72	
	220	95	170	95	81	68	15,27		113	28,49		158	41,04	
	240	100	185	105	88	68	16,88		113	31,49		158	45,36	
	260	110	200	115	95	68	18,48		113	34,49		158	49,68	
	280	115	210	125	102	68	20,09		113	37,49		158	54,00	
	300	125	225	135	109	68	21,70		113	40,49		158	58,32	
	320	130	240	145	116	68	23,30		113	43,49		158	62,64	
9	340	140	255	155	123	68	24,91	22,88	113	46,49	42,69	158	66,96	61,50
	360	145	270	165	130	68	26,52		113	49,48		158	71,28	
	380	150	285	175	137	68	28,13		113	52,48		158	75,60	
	400	160	295	185	144	68	29,73		113	55,48		158	79,92	
	440	175	325	205	159	68	32,95		113	61,48		158	88,56	
	480	185	355	225	173	68	35,92		113	67,03		158	96,55	
	520	200	380	245	187	68	35,92		113	67,03		158	96,55	
	560	215	410	265	201	68	35,92		113	67,03		158	96,55	
	600	230	440	285	215	68	35,92		113	67,03		158	96,55	

ASSEMBLAGE PAR CISAILLENT POUTRE PRINCIPALE-POUTRE SECONDAIRE

géométrie		poutre principale poutre secondaire				1 paire			2 paires			3 paires		
d ₁	L	B _{HT,min}	H _{HT,min}	S _g	m	b _{NT,min}	R _{V1,k}	R _{V2,k}	b _{NT,min}	R _{V1,k}	R _{V2,k}	b _{NT,min}	R _{V1,k}	R _{V2,k}
[mm]	[mm]	[mm]	[mm]	[mm]	[mm]	[mm]	[kN]	[kN]	[mm]	[kN]	[kN]	[mm]	[kN]	[kN]
11	250	105	190	110	91	83	21,61		138	40,32		193	58,08	
	275	115	210	125	102	83	24,55		138	45,82		193	66,00	
	300	125	225	135	109	83	26,52		138	49,48		193	71,28	
	325	135	250	150	120	83	29,46		138	54,98		193	79,20	
	350	140	260	160	127	83	31,43		138	58,65		193	84,48	
	375	150	285	175	137	83	34,38		138	64,15		193	92,40	
	400	160	295	185	144	83	36,34		138	67,81		193	97,68	
	425	170	320	200	155	83	39,29		138	73,31		193	105,60	
	450	175	335	210	162	83	41,25		138	76,98		193	110,88	
	475	185	355	225	173	83	44,20		138	82,47		193	118,80	
	500	195	370	235	180	83	46,16		138	86,14		193	124,08	
	525	205	390	250	190	83	49,11	29,15	138	91,64	54,40	193	131,99	78,35
	550	210	405	260	197	83	51,07		138	95,30		193	137,27	
	575	225	425	275	208	83	53,74		138	100,28		193	144,45	
	600	230	440	285	215	83	53,74		138	100,28		193	144,45	
	650	245	475	310	233	83	53,74		138	100,28		193	144,45	
	700	265	510	335	251	83	53,74		138	100,28		193	144,45	
	750	285	545	360	268	83	53,74		138	100,28		193	144,45	
	800	300	580	385	286	83	53,74		138	100,28		193	144,45	
	850	320	615	410	304	83	53,74		138	100,28		193	144,45	
	900	335	650	435	321	83	53,74		138	100,28		193	144,45	
	950	355	685	460	339	83	53,74		138	100,28		193	144,45	
	1000	370	720	485	357	83	53,74		138	100,28		193	144,45	

NOTES

- La résistance nominale des connecteurs est la valeur la plus basse entre la résistance nominale à l'extraction (R_{V1,d}) et la résistance nominale à l'insérabilité (R_{V2,d}).

Les valeurs de résistance ainsi déterminées pourraient différer, en faveur de la sécurité, de celles résultant d'un calcul exact.

- La cote de montage (m) est valable en cas de pose symétrique des connecteurs au ras supérieur des éléments.
- Les connecteurs doivent être insérés à 45° par rapport au plan de cisaillement.
- Les valeurs de résistance indiquées dans le tableau pour des connexions avec plusieurs paires de vis croisées sont déjà incluses de n_{ef,ax}.

- Les valeurs indiquées sont calculées en prenant en compte une distance a_{1,CG} ≥ 5d.

PRINCIPES GÉNÉRAUX à la page 143.

- Pour le calcul, la masse volumique des éléments en bois a été estimée à ρ_k = 385 kg/m³.

Pour des valeurs de ρ_k différentes, les résistances indiquées dans le tableau peuvent être converties avec les coefficients k_{dens} précédemment indiqués :

$$R'_{V1,k} = k_{dens,ax} \cdot R_{V1,k}$$

$$R'_{V2,k} = k_{dens,ki} \cdot R_{V2,k}$$

DISTANCES MINIMALES POUR CONNECTEUR CROISÉS

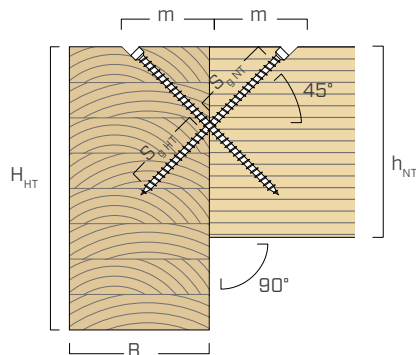
 vis enfoncées AVEC et SANS pré-perçage



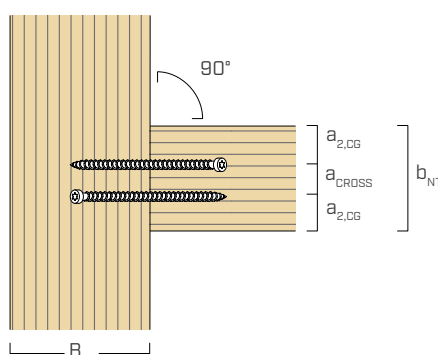
d_1	[mm]	7	9	11
$a_{2,CG}$ [mm]	$3 \cdot d$	21	27	33
a_{CROSS} [mm]	$1,5 \cdot d$	11	14	17
e [mm]	$3,5 \cdot d$	25	32	39

d_1	[mm]	9	11
$a_{2,CG}$ [mm]	$3 \cdot d$	27	33
a_{CROSS} [mm]	$1,5 \cdot d$	14	17
e [mm]	$3,5 \cdot d$	32	39

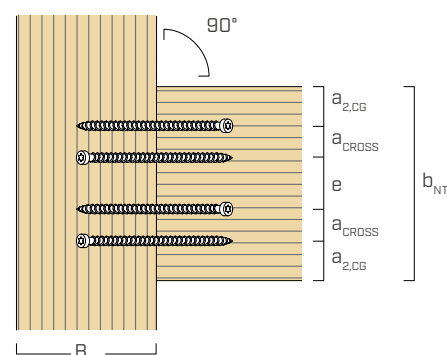
$d = d_1$ = diamètre nominal vis



section



plan - 1 COUPLE



plan - 2 COUPLES OU DAVANTAGE

NOTES

- Pour des assemblages poutre secondaire-poutre principale avec des vis VGZ $d = 7$ mm inclinées ou croisées, insérées à un angle de 45° par rapport à la tête de la poutre secondaire, avec une hauteur minimale de la poutre secondaire égale à $18 \cdot d$, la distance minimale $a_{1,CG}$ peut être prise à $8 \cdot d_1$ et la distance minimale $a_{2,CG}$ égale à $3 \cdot d_1$.

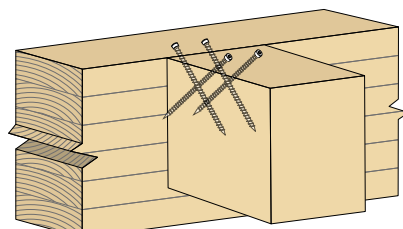
- Pour des vis avec une pointe 3 THORNS et avec une self-drilling, les distances indiquées dans le tableau sont issues d'essais expérimentaux ; en alternative, adopter $a_{1,CG} = 10 \cdot d$ et $a_{2,CG} = 4 \cdot d$ conformément à la norme EN1995:2014.

NOMBRE EFFICACE POUR DES PAIRE DE CONNECTEURS SOLlicités AXIALEMENT

La capacité portante d'un assemblage réalisé avec plusieurs vis, toutes de même type et de même taille, peut être inférieure à la somme des capacités portantes de chaque élément d'assemblage.

Pour un assemblage avec n paires de vis croisées, la capacité portante caractéristique efficace est égale à :

$$R_{ef,V,k} = n_{ef,ax} \cdot R_{V,k}$$



La valeur de n_{ef} est indiquée dans le tableau sous-jacent en fonction de n (nombre de paires).

n_{PAIRS}	2	3	4	5	6	7	8	9	10
$n_{ef,ax}$	1,87	2,70	3,60	4,50	5,40	6,30	7,20	8,10	9,00



Rapports de calcul complets pour la conception en bois ?
Télécharger MyProject et simplifiez votre travail !



CONSEILS D'INSTALLATION

ASSEMBLAGE BOIS-BOIS AVEC CONNECTEURS CROISÉS

SERRAGE DE LA CONNEXION



Pour une installation correcte de la connexion, il est conseillé de serrer les éléments avant d'insérer les connecteurs.



Insérer une vis à filetage partiel (ex. HBS680) pour rapprocher les éléments.



La vis HBS a éliminé l'espace initialement présent entre les éléments.
Après avoir positionné les connecteurs VGZ, elle peut être retirée.

INSERTION DES CONNECTEURS



Pour garantir le bon positionnement et l'inclinaison correcte des vis VGZ, nous conseillons d'utiliser le gabarit JIGVGZ45.



Après avoir serré environ un tiers de la vis, retirer le gabarit JIGVGZ45 et poursuivre l'installation.



Répéter la procédure pour installer la vis insérée de la poutre principale à la poutre secondaire.

ASSEMBLAGE ENTRE PANNEAUX CLT AVEC CONNECTEURS INCLINÉS DANS LES DEUX SENS [45°-45°]



Pour assurer un positionnement et une inclinaison corrects des vis VGZ, il est conseillé d'utiliser le gabarit JIGVGZ45 positionné à 45° par rapport à la tête du panneau.



Après avoir serré environ un tiers de la vis, retirer le gabarit JIGVGZ45 et poursuivre l'installation.



Répéter la procédure pour installer la vis insérée dans le panneau adjacent et continuer cette séquence alternée en fonction des distances prévues dans la conception.

PRODUITS CONNEXES



HBS
page 30



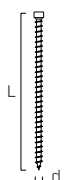
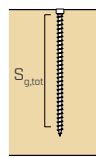
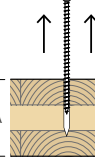
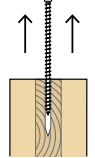
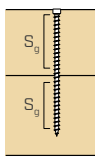
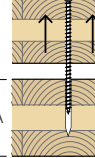
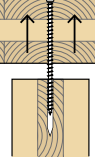
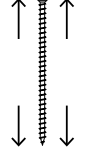
CATCH
page 408

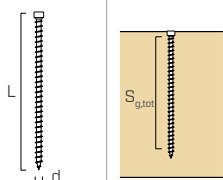
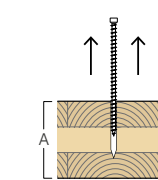
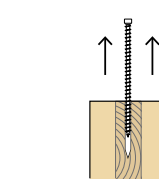
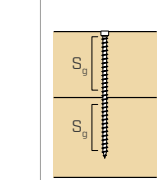
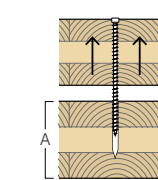
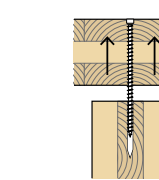
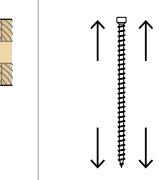


BIT
page 417



JIG VGZ 45°
page 409

géométrie	TRACTION									
	extraction du filetage total				extraction du filetage partiel					
	lateral		narrow		lateral		narrow			
										
d ₁ [mm]	L [mm]	S _{g,tot} [mm]	A _{min} [mm]	R _{ax,90,k} [kN]	R _{ax,0,k} [kN]	S _g [mm]	A _{min} [mm]	R _{ax,90,k} [kN]	R _{ax,0,k} [kN]	R _{tens,k} [kN]
	80	70	90	5,73	4,34	-	-	-	-	
	100	90	110	7,37	5,44	35	55	2,87	2,33	
	120	110	130	9,01	6,52	45	65	3,69	2,92	
	140	130	150	10,65	7,58	55	75	4,50	3,49	
	160	150	170	12,29	8,62	65	85	5,32	4,06	
	180	170	190	13,92	9,65	75	95	6,14	4,62	
	200	190	210	15,56	10,67	85	105	6,96	5,17	
	220	210	230	17,20	11,67	95	115	7,78	5,72	
7	240	230	250	18,84	12,67	105	125	8,60	6,25	15,40
	260	250	270	20,48	13,65	115	135	9,42	6,79	
	280	270	290	22,11	14,63	125	145	10,24	7,32	
	300	290	310	23,75	15,61	135	155	11,06	7,84	
	320	310	330	25,39	16,57	145	165	11,88	8,36	
	340	330	350	27,03	17,53	155	175	12,69	8,88	
	360	350	370	28,67	18,48	165	185	13,51	9,39	
	380	370	390	30,30	19,43	175	195	14,33	9,90	
	400	390	410	31,94	20,37	185	205	15,15	10,41	
	160	150	170	15,80	10,54	65	85	6,84	4,97	
	180	170	190	17,90	11,80	75	95	7,90	5,65	
	200	190	210	20,01	13,04	85	105	8,95	6,32	
	220	210	230	22,11	14,27	95	115	10,00	6,99	
	240	230	250	24,22	15,49	105	125	11,06	7,65	
	260	250	270	26,33	16,69	115	135	12,11	8,30	
	280	270	290	28,43	17,89	125	145	13,16	8,95	
	300	290	310	30,54	19,08	135	155	14,22	9,59	
9	320	310	330	32,64	20,26	145	165	15,27	10,22	25,40
	340	330	350	34,75	21,43	155	175	16,32	10,86	
	360	350	370	36,86	22,60	165	185	17,37	11,49	
	380	370	390	38,96	23,76	175	195	18,43	12,11	
	400	390	410	41,07	24,91	185	205	19,48	12,73	
	440	430	450	45,28	27,20	205	225	21,59	13,96	
	480	470	490	49,49	29,47	225	245	23,69	15,18	
	520	510	530	53,70	31,71	245	265	25,80	16,39	
	560	550	570	57,92	33,94	265	285	27,90	17,59	
	600	590	610	62,13	36,16	285	305	30,01	18,78	

géométrie	TRACTION									
	extraction du filetage total				extraction du filetage partiel					
	lateral		narrow		lateral		narrow			
										
d ₁ [mm]	L [mm]	S _{g,tot} [mm]	A _{min} [mm]	R _{ax,90,k} [kN]	R _{ax,0,k} [kN]	S _g [mm]	A _{min} [mm]	R _{ax,90,k} [kN]	R _{ax,0,k} [kN]	R _{tens,k} [kN]
	150	140	160	18,02	11,63	60	80	7,72	5,43	
	200	190	210	24,45	15,31	85	105	10,94	7,42	
	250	240	260	30,89	18,89	110	130	14,16	9,36	
	275	265	285	34,11	20,66	123	143	15,77	10,31	
	300	290	310	37,32	22,40	135	155	17,37	11,26	
	325	315	335	40,54	24,13	148	168	18,98	12,19	
	350	340	360	43,76	25,85	160	180	20,59	13,12	
	375	365	385	46,98	27,56	173	193	22,20	14,04	
	400	390	410	50,19	29,25	185	205	23,81	14,95	
	425	415	435	53,41	30,93	198	218	25,42	15,85	
	450	440	460	56,63	32,60	210	230	27,03	16,75	
	475	465	485	59,85	34,27	223	243	28,64	17,65	
11	500	490	510	63,06	35,92	235	255	30,24	18,54	38,00
	525	515	535	66,28	37,56	248	268	31,85	19,43	
	550	540	560	69,50	39,20	260	280	33,46	20,31	
	575	565	585	72,72	40,83	273	293	35,07	21,18	
	600	590	610	75,93	42,45	285	305	36,68	22,05	
	650	640	660	82,37	45,68	310	330	39,90	23,79	
	700	690	710	88,80	48,88	335	355	43,11	25,51	
	750	740	760	95,24	52,05	360	380	46,33	27,22	
	800	790	810	101,67	55,21	385	405	49,55	28,91	
	850	840	860	108,11	58,34	410	430	52,77	30,59	
	900	890	910	114,54	61,46	435	455	55,98	32,27	
	950	940	960	120,98	64,56	460	480	59,20	33,93	
	1000	990	1010	127,41	67,64	485	505	62,42	35,59	

NOTES et PRINCIPES GÉNÉRAUX à page 143.

■ VALEURS STATIQUES | CLT

géométrie			CLT - CLT 45° + 45°			CLT - CLT			CLT - bois			
d ₁	L	S _g	A _{min}	R _{V,k}	R _{tens,45+45,k}	A	R _{V,k}	R _{tens,45,k}	A	H _{min}	R _{V,k}	
[mm]	[mm]	[mm]	[mm]	[kN]	[kN]	[mm]	[kN]	[kN]	[mm]	[mm]	[kN]	
80	25		65	0,86		35	1,22		35	50	1,45	
100	35		80	1,16		40	1,65		40	55	2,03	
120	45		95	1,46		45	2,06		45	60	2,61	
140	55		110	1,75		55	2,47		55	70	3,19	
160	65		125	2,03		60	2,87		60	75	3,76	
180	75		135	2,31		70	3,27		70	85	4,34	
200	85		150	2,59		75	3,66		75	90	4,92	
220	95		165	2,86		85	4,04		85	100	5,50	
7	240	105	180	3,13	7,70	90	4,42	10,89	90	105	6,08	10,89
	260	115	195	3,39		95	4,80		95	110	6,66	
	280	125	210	3,66		105	5,17		105	120	7,24	
	300	135	220	3,92		110	5,54		110	125	7,82	
	320	145	235	4,18		120	5,91		120	135	8,40	
	340	155	250	4,44		125	6,28		125	140	8,98	
	360	165	265	4,70		130	6,64		130	145	9,56	
	380	175	280	4,95		140	7,00		140	155	10,13	
	400	185	295	5,21		145	7,36		145	160	10,71	
	160	65	125	2,48		60	3,51		60	75	4,84	
	180	75	135	2,82		70	3,99		70	85	5,58	
	200	85	150	3,16		75	4,47		75	90	6,33	
	220	95	165	3,49		85	4,94		85	100	7,07	
	240	105	180	3,82		90	5,41		90	105	7,82	
	260	115	195	4,15		95	5,87		95	110	8,56	
	280	125	210	4,47		105	6,33		105	120	9,31	
	300	135	220	4,79		110	6,78		110	125	10,05	
9	320	145	235	5,11	12,70	120	7,23	17,96	120	135	10,80	17,96
	340	155	250	5,43		125	7,68		125	140	11,54	
	360	165	265	5,74		130	8,12		130	145	12,29	
	380	175	280	6,06		140	8,56		140	155	13,03	
	400	185	295	6,37		145	9,00		145	160	13,77	
	440	205	320	6,98		160	9,87		160	175	15,26	
	480	225	350	7,59		175	10,74		175	190	16,75	
	520	245	380	8,20		190	11,59		190	205	18,24	
	560	265	405	8,80		205	12,44		205	220	19,73	
	600	285	435	9,39		215	13,28		215	230	21,22	

géométrie			CLT - CLT 45° + 45°			CLT - CLT			CLT - bois			
d ₁	L	S _g	A _{min}	R _{V,k}	R _{tens,45+45,k}	A	R _{V,k}	R _{tens,45,k}	A	H _{min}	R _{V,k}	R _{tens,45,k}
150	60	115	2,71			60	3,84		60	75	5,46	
200	85	150	3,71			75	5,25		75	90	7,74	
250	110	185	4,68			95	6,62		95	110	10,01	
275	123	205	5,16			100	7,29		100	115	11,15	
300	135	220	5,63			110	7,96		110	125	12,29	
325	148	240	6,10			120	8,62		120	135	13,42	
350	160	255	6,56			130	9,28		130	145	14,56	
375	173	275	7,02			140	9,93		140	155	15,70	
400	185	295	7,47			145	10,57		145	160	16,84	
425	198	310	7,93			155	11,21		155	170	17,97	
450	210	330	8,38			165	11,85		165	180	19,11	
475	223	345	8,82			175	12,48		175	190	20,25	
11	500	235	365	9,27	19,00	180	13,11	26,87	180	195	21,39	26,87
	525	248	380	9,71		190	13,74		190	205	22,52	
	550	260	400	10,15		200	14,36		200	215	23,66	
	575	273	415	10,59		210	14,98		210	225	24,80	
	600	285	435	11,03		215	15,60		215	230	25,94	
	650	310	470	11,89		235	16,82		235	250	28,21	
	700	335	505	12,75		250	18,04		250	265	30,49	
	750	360	540	13,61		270	19,24		270	285	32,76	
	800	385	575	14,46		290	20,44		290	305	35,04	
	850	410	610	15,30		305	21,63		305	320	37,31	
	900	435	645	16,13		325	22,82		325	340	39,59	
	950	460	680	16,97		340	23,99		340	355	41,86	
	1000	485	715	17,79		360	25,16		360	375	44,14	

NOTES | CLT

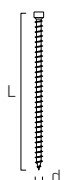
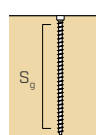
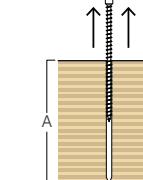
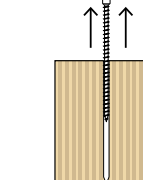
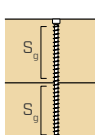
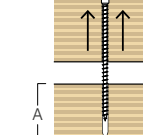
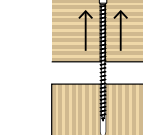
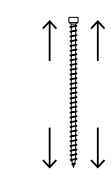
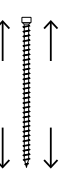
- Les valeurs caractéristiques sont conformes aux spécifications nationales ÖNORM EN 1995 - Annexe K.
- En phase de calcul est considérée une masse volumique pour les éléments en CLT égale à $\rho_k = 350 \text{ kg/m}^3$ pour les éléments en bois et de $\rho_k = 385 \text{ kg/m}^3$.
- La résistance axiale à l'extraction du filetage de narrow face est valable pour une épaisseur minimale de CLT $t_{CLT,min} = 10 \cdot d_1$ et une profondeur de pénétration minimale de la vis $t_{pen} = 10 \cdot d_1$.
- Les résistances caractéristiques au glissement des connecteurs insérés dans la face latérale du panneau en CLT ont été évaluées en considérant un angle ϵ de 45° entre les fibres et le connecteur, puisqu'il n'était pas possible de définir a priori l'épaisseur et l'orientation des différentes couches.

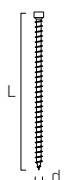
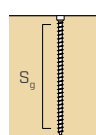
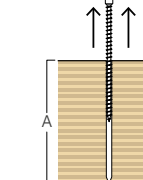
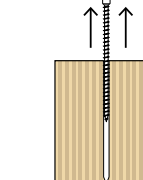
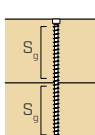
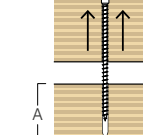
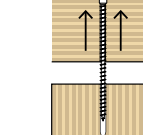
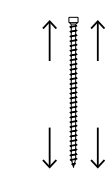
• Les résistances caractéristiques au glissement des connecteurs insérés avec une double inclinaison (45°-45°) ont été évaluées en considérant un angle ϵ de 60° entre les fibres et le connecteur ; en effet, la géométrie de la connexion prévoit que les connecteurs soient insérés à un angle de 45° par rapport à la face du panneau en CLT et à un angle de 45° par rapport au plan de cisaillement entre les deux panneaux.

Dans cette application, l'utilisation du gabarit JIG VGZ 45 est recommandée pour une pose dans les règles de l'art des connecteurs.

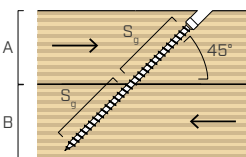
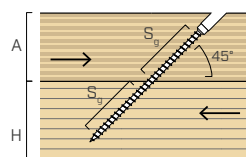
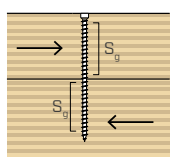
- La vérification de l'instabilité des connecteurs doit se faire séparément.

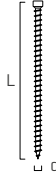
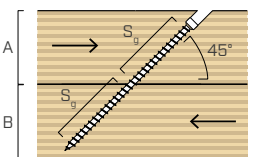
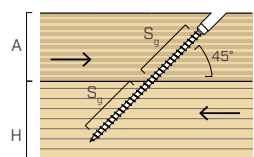
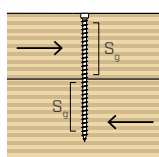
PRINCIPES GÉNÉRAUX à la page 143.

géométrie	TRACTION								traction acier	
	extraction du filetage total				extraction du filetage partiel					
	wide		edge		wide		edge			
										
d ₁ [mm]	L [mm]	S _{g,tot} [mm]	A _{min} [mm]	R _{ax,90,k} [kN]	R _{ax,0,k} [kN]	S _g [mm]	A _{min} [mm]	R _{ax,90,k} [kN]	R _{ax,0,k} [kN]	R _{tens,k} [kN]
80	70	90	90	7,11	4,74	-	-	-	-	
100	90	110	110	9,15	5,44	35	55	3,56	2,37	
120	110	130	130	11,18	6,52	45	65	4,57	3,05	
140	130	150	150	13,21	7,58	55	75	5,59	3,73	
160	150	170	170	15,24	8,62	65	85	6,61	4,40	
180	170	190	190	17,28	9,65	75	95	7,62	5,08	
200	190	210	210	19,31	10,67	85	105	8,64	5,76	
220	210	230	230	21,34	11,67	95	115	9,65	6,44	
7	240	230	250	23,37	12,67	105	125	10,67	7,11	15,40
	260	250	270	25,41	13,65	115	135	11,69	7,79	
	280	270	290	27,44	14,63	125	145	12,70	8,47	
	300	290	310	29,47	15,61	135	155	13,72	9,15	
	320	310	330	31,50	16,57	145	165	14,74	9,82	
	340	330	350	33,54	17,53	155	175	15,75	10,50	
	360	350	370	35,57	18,48	165	185	16,77	11,18	
	380	370	390	37,60	19,43	175	195	17,78	11,86	
	400	390	410	39,63	20,37	185	205	18,80	12,53	
9	160	150	170	19,60	10,54	65	85	8,49	5,66	
	180	170	190	22,21	11,80	75	95	9,80	6,53	
	200	190	210	24,83	13,04	85	105	11,11	7,40	
	220	210	230	27,44	14,27	95	115	12,41	8,28	
	240	230	250	30,05	15,49	105	125	13,72	9,15	
	260	250	270	32,67	16,69	115	135	15,03	10,02	
	280	270	290	35,28	17,89	125	145	16,33	10,89	
	300	290	310	37,89	19,08	135	155	17,64	11,76	
	320	310	330	40,51	20,26	145	165	18,95	12,63	25,40
	340	330	350	43,12	21,43	155	175	20,25	13,50	
	360	350	370	45,73	22,60	165	185	21,56	14,37	
	380	370	390	48,35	23,76	175	195	22,87	15,24	
	400	390	410	50,96	24,91	185	205	24,17	16,12	
	440	430	450	56,18	27,20	205	225	26,79	17,86	
	480	470	490	61,41	29,47	225	245	29,40	19,60	
	520	510	530	66,64	31,71	245	265	32,01	21,34	
	560	550	570	71,86	33,94	265	285	34,63	23,08	
	600	590	610	77,09	36,16	285	305	37,24	24,83	

géométrie	TRACTION									
	extraction du filetage total				extraction du filetage partiel					
	wide		edge		wide		edge			
								traction acier		
d ₁ [mm]	L [mm]	S _{g,tot} [mm]	A _{min} [mm]	R _{ax,90,k} [kN]	R _{ax,0,k} [kN]	S _g [mm]	A _{min} [mm]	R _{ax,90,k} [kN]	R _{ax,0,k} [kN]	R _{tens,k} [kN]
150	140	160	22,36	11,63	60	80	9,58	6,39		
200	190	210	30,34	15,31	85	105	13,57	9,05		
250	240	260	38,33	18,89	110	130	17,57	11,71		
275	265	285	42,32	20,66	123	143	19,56	13,04		
300	290	310	46,31	22,40	135	155	21,56	14,37		
325	315	335	50,31	24,13	148	168	23,56	15,70		
350	340	360	54,30	25,85	160	180	25,55	17,03		
375	365	385	58,29	27,56	173	193	27,55	18,37		
400	390	410	62,28	29,25	185	205	29,54	19,70		
425	415	435	66,27	30,93	198	218	31,54	21,03		
450	440	460	70,27	32,60	210	230	33,54	22,36		
475	465	485	74,26	34,27	223	243	35,53	23,69		
11	500	490	510	78,25	35,92	235	255	37,53	25,02	38,00
	525	515	535	82,24	37,56	248	268	39,53	26,35	
	550	540	560	86,24	39,20	260	280	41,52	27,68	
	575	565	585	90,23	40,83	273	293	43,52	29,01	
	600	590	610	94,22	42,45	285	305	45,51	30,34	
	650	640	660	102,21	45,68	310	330	49,51	33,00	
	700	690	710	110,19	48,88	335	355	53,50	35,67	
	750	740	760	118,18	52,05	360	380	57,49	38,33	
	800	790	810	126,16	55,21	385	405	61,48	40,99	
	850	840	860	134,15	58,34	410	430	65,48	43,65	
	900	890	910	142,13	61,46	435	455	69,47	46,31	
	950	940	960	150,12	64,56	460	480	73,46	48,97	
	1000	990	1010	158,10	67,64	485	505	77,45	51,64	

NOTES et PRINCIPES GÉNÉRAUX à page 143.

géométrie		GLISSEMENT				CISAILLEMENT						
		LVL - LVL		LVL - bois		LVL - LVL wide						
												
d ₁ [mm]	L [mm]	S _g [mm]	A [mm]	B _{min} [mm]	R _{V,k} [kN]	R _{tens,45,k} [kN]	A [mm]	H _{min} [mm]	R _{V,k} [kN]	R _{tens,45,k} [kN]	A [mm]	R _{V,90,k} [kN]
7	100	35	40	55	2,01		40	45	2,01		50	3,29
	120	45	45	60	2,59		45	50	2,59		60	3,55
	140	55	55	70	3,16		55	60	3,16		70	3,80
	160	65	60	75	3,74		60	65	3,74		80	4,05
	180	75	70	85	4,31		70	75	4,31		90	4,31
	200	85	75	90	4,89		75	80	4,89		100	4,56
	220	95	85	100	5,46		85	90	5,46		110	4,81
	240	105	90	105	6,04	10,89	90	95	6,04	10,89	120	4,81
	260	115	95	110	6,61		95	100	6,61		130	4,81
	280	125	105	120	7,19		105	110	7,19		140	4,81
	300	135	110	125	7,76		110	115	7,76		150	4,81
	320	145	120	135	8,34		120	125	8,34		160	4,81
	340	155	125	140	8,91		125	130	8,91		170	4,81
	360	165	130	145	9,49		130	135	9,49		180	4,81
	380	175	140	155	10,06		140	145	10,06		190	4,81
	400	185	145	160	10,64		145	150	10,64		200	4,81
9	160	65	60	75	4,80		60	65	4,80		80	5,75
	180	75	70	85	5,54		70	75	5,54		90	6,08
	200	85	75	90	6,28		75	80	6,28		100	6,41
	220	95	85	100	7,02		85	90	7,02		110	6,73
	240	105	90	105	7,76		90	95	7,76		120	7,06
	260	115	95	110	8,50		95	100	8,50		130	7,26
	280	125	105	120	9,24		105	110	9,24		140	7,26
	300	135	110	125	9,98	17,96	110	115	9,98	17,96	150	7,26
	320	145	120	135	10,72		120	125	10,72		160	7,26
	340	155	125	140	11,46		125	130	11,46		170	7,26
	360	165	130	145	12,20		130	135	12,20		180	7,26
	380	175	140	155	12,93		140	145	12,93		190	7,26
	400	185	145	160	13,67		145	150	13,67		200	7,26
	440	205	160	175	15,15		160	165	15,15		220	7,26
	480	225	175	190	16,63		175	180	16,63		240	7,26
	520	245	190	205	18,11		190	195	18,11		260	7,26
	560	265	205	220	19,59		205	210	19,59		280	7,26
	600	285	215	230	21,07		215	220	21,07		300	7,26

géométrie		GLISSEMENT				CISAILLEMENT						
		LVL - LVL		LVL - bois		LVL - LVL wide						
												
d ₁ [mm]	L [mm]	S _g [mm]	A [mm]	B _{min} [mm]	R _{V,k} [kN]	R _{tens,45,k} [kN]	A [mm]	H _{min} [mm]	R _{V,k} [kN]	R _{tens,45,k} [kN]	A [mm]	R _{V,90,k} [kN]
150	60	60	60	75	5,42		60	65	5,42		75	7,46
200	85	75	75	90	7,68		75	80	7,68		100	8,45
250	110	95	95	110	9,94		95	100	9,94		125	9,45
275	123	100	100	115	11,07		100	105	11,07		138	9,95
300	135	110	110	125	12,20		110	115	12,20		150	10,12
325	148	120	120	135	13,33		120	125	13,33		163	10,12
350	160	130	130	145	14,45		130	135	14,45		175	10,12
375	173	140	140	155	15,58		140	145	15,58		188	10,12
400	185	145	145	160	16,71		145	150	16,71		200	10,12
425	198	155	155	170	17,84		155	160	17,84		213	10,12
450	210	165	165	180	18,97		165	170	18,97		225	10,12
475	223	175	175	190	20,10		175	180	20,10		238	10,12
11	500	235	180	195	21,23	26,87	180	185	21,23	26,87	250	10,12
	525	248	190	205	22,36		190	195	22,36		263	10,12
	550	260	200	215	23,49		200	205	23,49		275	10,12
	575	273	210	225	24,62		210	215	24,62		288	10,12
	600	285	215	230	25,75		215	220	25,75		300	10,12
	650	310	235	250	28,01		235	240	28,01		325	10,12
	700	335	250	265	30,26		250	255	30,26		350	10,12
	750	360	270	285	32,52		270	275	32,52		375	10,12
	800	385	290	305	34,78		290	295	34,78		400	10,12
	850	410	305	320	37,04		305	310	37,04		425	10,12
	900	435	325	340	39,30		325	330	39,30		450	10,12
	950	460	340	355	41,56		340	345	41,56		475	10,12
	1000	485	360	375	43,81		360	365	43,81		500	10,12

NOTES

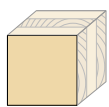
- En phase de calcul est considérée une masse volumique des éléments en LVL en bois de conifère (softwood) égale à $\rho_k = 480 \text{ kg/m}^3$ pour les éléments en bois et de $\rho_k = 385 \text{ kg/m}^3$.
- La résistance axiale à l'extraction du filetage « wide » a été évaluée en considérant un angle de 90° entre les fibres et le connecteur et est valable dans une application avec LVL à placage parallèle ou croisé.
- La résistance axiale à l'extraction du filetage « edge » a été évaluée en considérant un angle de 90° entre les fibres et le connecteur, et est valable dans une application avec LVL à placage parallèle.
- Hauteur minimale LVL $h_{LVL,min} = 100 \text{ mm}$ pour des connecteurs VGZ Ø7 et $h_{LVL,min} = 120 \text{ mm}$ pour des connecteurs VGZ Ø9.

- Les résistances caractéristiques au glissement ont été évaluées en considérant, pour chaque élément en bois, un angle de 45° entre le connecteur et la fibre, et un angle de 45° entre le connecteur et la face latérale de l'élément LVL.
- Les résistances caractéristiques au cisaillement ont été évaluées en considérant, pour chaque élément en bois, un angle de 90° entre le connecteur et la fibre, un angle de 90° entre le connecteur et la face latérale de l'élément LVL et un angle de 0° entre la force et la fibre.
- La vérification de l'instabilité des connecteurs doit se faire séparément.

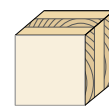
PRINCIPES GÉNÉRAUX à la page 143.

DISTANCES MINIMALES POUR VIS SOLLICITÉES AU CISAILLEMENT ET CHARGÉES AXIALEMENT | CLT

vis insérées SANS pré-perçage



lateral face

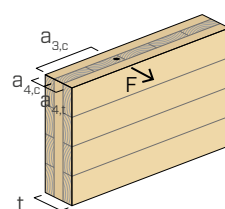
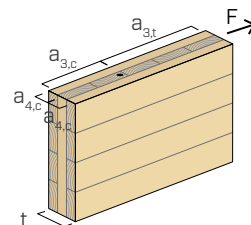
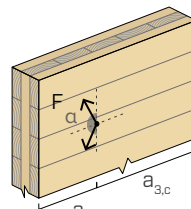
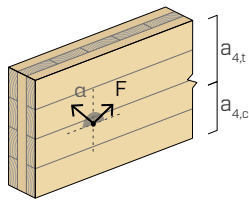
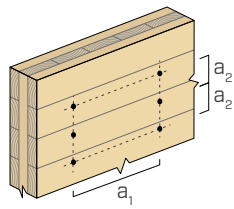


narrow face

d_1 [mm]	7	9	11
a_1 [mm]	4·d	28	36
a_2 [mm]	2,5·d	18	23
$a_{3,t}$ [mm]	6·d	42	54
$a_{3,c}$ [mm]	6·d	42	54
$a_{4,t}$ [mm]	6·d	42	54
$a_{4,c}$ [mm]	2,5·d	18	23

d_1 [mm]	7	9	11
a_1 [mm]	10·d	70	90
a_2 [mm]	4·d	28	36
$a_{3,t}$ [mm]	12·d	84	108
$a_{3,c}$ [mm]	7·d	49	63
$a_{4,t}$ [mm]	6·d	42	54
$a_{4,c}$ [mm]	3·d	21	27

$d = d_1$ = diamètre nominal vis



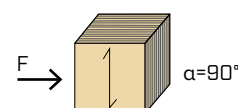
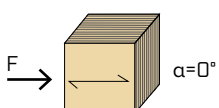
NOTES

- Les distances minimales sont conformes à l'ATE-11/0030 et doivent être considérées valables, sauf indication contraire, dans les documents techniques des panneaux CLT.
- Les distances minimales sont valables pour une épaisseur minimale CLT $t_{CLT,min} = 10 \cdot d_1$.

- Les distances minimales relatives à "narrow face" sont valables pour une profondeur d'implantation minimale de la vis de $t_{pen} = 10 \cdot d_1$.

DISTANCES MINIMALES POUR VIS SOLLICITÉES AU CISAILLEMENT | LVL

vis insérées SANS pré-perçage

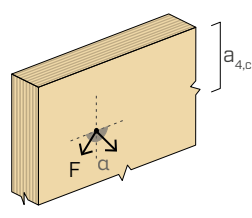
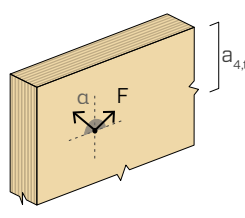
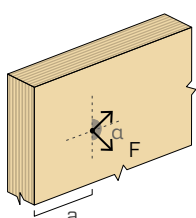
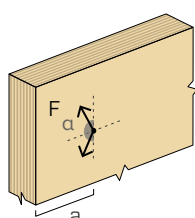
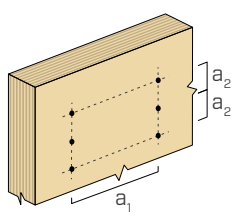


d_1 [mm]	7	9	11
a_1 [mm]	15·d	105	135
a_2 [mm]	7·d	49	63
$a_{3,t}$ [mm]	20·d	140	180
$a_{3,c}$ [mm]	15·d	105	135
$a_{4,t}$ [mm]	7·d	49	63
$a_{4,c}$ [mm]	7·d	49	63

d_1 [mm]	7	9	11
a_1 [mm]	7·d	49	63
a_2 [mm]	7·d	49	63
$a_{3,t}$ [mm]	15·d	105	135
$a_{3,c}$ [mm]	15·d	105	135
$a_{4,t}$ [mm]	12·d	84	108
$a_{4,c}$ [mm]	7·d	49	63

α = angle entre effort et fil du bois

$d = d_1$ = diamètre nominal vis



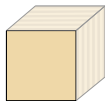
NOTES

- Les distances minimales sont issues des essais expérimentaux effectués par Eurofins Expert Services Oy, Espoo, Finland (Report EUFI29-19000819-T1/T2).

DISTANCES MINIMALES POUR VIS SOLICITÉES AXIALEMENT | LVL



vis insérées **SANS** pré-perçage

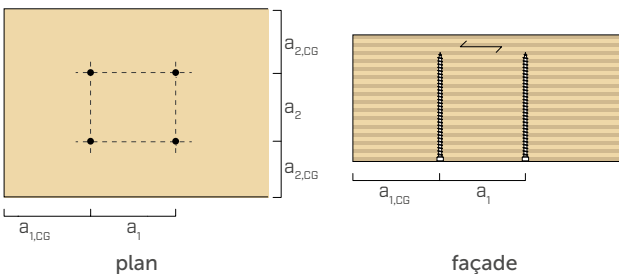


wide face

d₁	[mm]	7	9	11
a₁	[mm]	5·d	35	45
a₂	[mm]	5·d	35	45
a_{1,CG}	[mm]	10·d	70	90
a_{2,CG}	[mm]	4·d	28	36

$d = d_1$ = diamètre nominal vis

VIS INSÉRÉES AVEC UN ANGLE $\alpha = 90^\circ$ PAR RAPPORT À LA FIBRE (wide face)

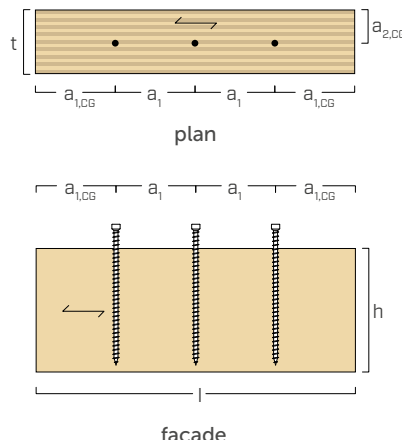


NOTES

- Les distances minimales pour des vis Ø7 et Ø9 avec une pointe 3 THORNS sont conformes à l'ATE-11/0030 et doivent être considérées valables, sauf indication contraire spécifiée dans les documents techniques des panneaux LVL.
Pour des vis Ø11 ou avec une pointe self-drilling, les distances minimales sont issues des essais expérimentaux effectués par Eurofins Expert Services Oy, Espoo, Finland (Report EUFI29-19000819-T1/T2).
 - Les distances minimales relatives à "edge face" pour des vis $d = 7$ mm sont valables pour une épaisseur minimale LVL $t_{LVL,min} = 45$ mm et hauteur minimale LVL $h_{LVL,min} = 100$ mm. Les distances minimales relatives à "edge face" pour des vis $d = 9$ mm sont valables pour une épaisseur minimale LVL $t_{LVL,min} = 57$ mm et hauteur minimale LVL $h_{LVL,min} = 120$ mm.

d₁	[mm]	7	9	11
a₁	[mm]	10·d	70	90
a₂	[mm]	5·d	35	45
a_{1,CG}	[mm]	12·d	84	108
a_{2,CG}	[mm]	3·d	21	27

VIS INSÉRÉES AVEC UN ANGLE $\alpha = 90^\circ$ PAR RAPPORT À LA FIBRE
(edge face)



VALEURS STATIQUES

PRINCIPES GÉNÉRAUX

- Les valeurs caractéristiques sont celles de la norme EN 1995:2014 conformément à ATE-11/0030.
 - La résistance de conception à la traction du connecteur est la valeur la plus basse entre la résistance de calcul côté bois ($R_{ax,d}$) et la résistance de conception côté acier ($R_{tens,d}$).

$$R_{ax,d} = \min \left\{ \begin{array}{l} \frac{R_{ax,k} \cdot k_{mod}}{\gamma_M} \\ \frac{R_{tens,k}}{\gamma_{M2}} \end{array} \right.$$

- La résistance de conception à la compression du connecteur est la valeur la plus basse entre la résistance de calcul côté bois ($R_{ax,d}$) et la résistance de conception à l'instabilité ($R_{vi,d}$).

$$R_{ax,d} = \min \left\{ \frac{R_{ax,k} \cdot k_{mod}}{\frac{R_{ki,k}}{\gamma_{M1}}} \right\}$$

- La résistance nominale au glissement du connecteur est la valeur la plus basse entre la résistance nominale côté bois ($R_{V,d}$) et la résistance nominale côté acier projetée à 45° ($R_{tens,45^\circ,d}$).

$$R_{V,d} = \min \left\{ \frac{R_{V,k} \cdot k_{mod}}{\gamma_M}, \frac{R_{tens,45,k}}{\gamma_{tens}} \right\}$$

- La résistance nominale au cisaillement du connecteur est obtenue à partir de la valeur caractéristique suivante :

$$R_{V,d} = \frac{R_{V,k} \cdot k_{mod}}{\gamma_M}$$
 - Les coefficients γ_M et k_{mod} sont établis en fonction de la réglementation en vigueur utilisée pour le calcul.
 - Pour les valeurs de résistance mécanique et pour la géométrie des vis, il a été fait référence à ce qui est reporté dans ATE-11/0030.
 - Le dimensionnement et la vérification des éléments en bois seront effectués séparément.
 - Le positionnement des vis doit être réalisé dans le respect des distances minimales.
 - Les résistances caractéristiques à l'extraction du filetage ont été évaluées en considérant une longueur d'implantation égale à $S_{g,tot}$ ou S_g , comme indiqué dans le tableau.
Pour les valeurs intermédiaires de S_g , il est possible d'effectuer une interpolation linéaire. Une longueur d'implantation minimale de 4-d₁ est considérée.
 - Les valeurs de résistance au cisaillement et au glissement ont été évaluées en considérant que le centre de gravité du connecteur est positionné au niveau du plan de cisaillement.
 - Les résistances caractéristiques au cisaillement sont évaluées pour les vis insérées sans pré-perçage. Si les vis sont insérées avec un pré-perçage, il est possible d'obtenir des valeurs de résistance plus élevées.
 - Pour des configurations de calcul différentes, le logiciel MyProject est disponible (www.rothoblaas.fr).